

# **Titelbild**

**Gopakumar Gopalakrishnan, Jean-Manuel Segura, Dimitrios Stamou,  
Cédric Gaillard, Marinela Gjoni, Ruud Hovius, Kurt J. Schenk,  
Pierre A. Stadelmann und Horst Vogel\***

**Die Synthese nanoskopischer optischer Fasern** aus CdCl<sub>2</sub>·4H<sub>2</sub>O mithilfe multilamellarer Lipidmembranen als Template beschreiben H. Vogel et al. in ihrer Zuschrift auf S. 5037 ff. Das Titelbild zeigt im Hintergrund einen Rasterelektronenmikrograph der Nanodrähte und von links nach rechts die Synthesestufen und die Lichtwellenleitung der Nanodrähte. Das Zentrum eines Nanodrahts wird bei 488 nm angeregt (grüner Laser), und orangefarbenes Licht wird am anderen Ende emittiert.



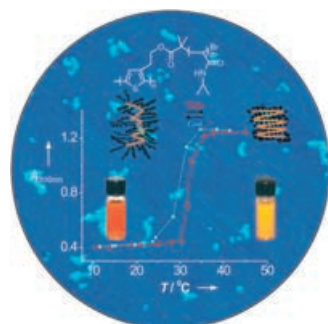
## *Cucurbit[n]urile*

Der Aufsatz von L. Isaacs und Mitarbeitern auf S. 4922 ff. stellt Synthesen und Eigenschaften der makrocyclischen Cucurbit[*n*]urile vor. Als Messlatte gilt die Wirt-Gast-Chemie der Cyclodextrine.



## ***Thermochrome Polymere***

Ein molekulares Bürstencopolymer aus einer Polythiophen-Hauptkette und Polyacrylamid-Nebenketten zeigt eine außergewöhnliche Wasserlöslichkeit und ein einzigartiges thermochromes Verhalten, wie R. L. McCarley et al. in ihrer Zuschrift auf S. 4950 ff. berichten.



Asymmetrische Hydrierung

Ein Rutheniumphosphoran-Komplex katalysiert die asymmetrische Hydrierung von Allylphthalimiden. Auf S. 5013 ff. beschreiben X. Zhang und Mitarbeiter das Verfahren, das zur Synthese von  $\beta$ -Methylaminen dient.

